УСИЛЕНИЕ СЛАБОГО СВЕТОВОГО СИГНАЛА С ЦИРКУЛЯРНОЙ ПОЛЯРИЗАЦИЕЙ В МНОГОУРОВНЕВОЙ АТОМАРНОЙ СРЕДЕ

Э.А. ГАЗАЗЯН, Г.Г. ГРИГОРЯН, А.В. ПАПОЯН

Институт физических исследований НАН Армении, Аштарак, Армения

(Поступила в редакцию 17 декабря 2010 г.)

Рассмотрено усиление циркулярно поляризованного светового сигнала при распространении в многоуровневой атомарной среде под действием сильного линейно поляризованного резонансного излучения. Сильная оптическая накачка может привести к инверсии населенностей между отдельными магнитными подуровнями сверхтонких уровней основного и возбужденного состояний. Решение самосогласованной системы уравнений для матрицы плотности и уравнений Максвелла для распространения слабого сигнала дает возможность проанализировать условия усиления.

1. Введение

Резонансное взаимодействие узкополосного лазерного излучения со сверхтонкой структурой атомных уровней приводит к существенному перераспределению начальных населенностей отдельных подуровней вследствие процессов оптической накачки. Так, часть населенности безвозвратно теряется, когда возбужденный лазерным излучением атом спонтанным распадом переводится на неактивный сверхтонкий подуровень, не взаимодействующий с резонансным излучением ("опустошающая накачка" на "открытых" переходах). Поэтому в случае интенсивной накачки заметный вклад в сигнал, регистрируемый в стационарном режиме и сформированный многими актами поглощения и испускания, вносят так называемые "циклические" переходы, не подверженные этому процессу по правилам отбора.

Перераспределение же населенности между магнитными подуровнями (рис.1), также вызванное многими циклами резонансного поглощения и флуоресценции ("зеемановская накачка"), в стационарном режиме в нулевом магнитном поле приводит не только к неоднородному заселению магнитных подуровней основного состояния, но и создает неоднородно-распределенную населенность в возбужденном состоянии. Это приводит к поляризационным особенностям в сигналах резонансного поглощения и флуоресценции.

Проблема стационарного перераспределения населенности между магнитными подуровнями тонкой или сверхтонкой структуры, индуцированного интенсивным возбуждающим излучением с линейной,

круговой или эллиптической поляризацией, рассматривалась в теоретических работах еще в 80-е годы [1-5]. Эти расчеты показали, что перераспределение населенности магнитных подуровней, вызванное длительным воздействием интенсивного линейно-поляризованного лазерного излучения на атомную систему V-типа (переходы с основного состояния $J_g = J + 1$ ($F_g = F'$) на возбужденное состояние $J_g = J + 1$ ($F_e = F + 1$)), приводит к стягиванию населенности к магнитным подуровням с малыми значениями $m_j = 1$ и к выравниванию населенностей возбужденного и основного подуровней с тем же значением $m_j = 1$.

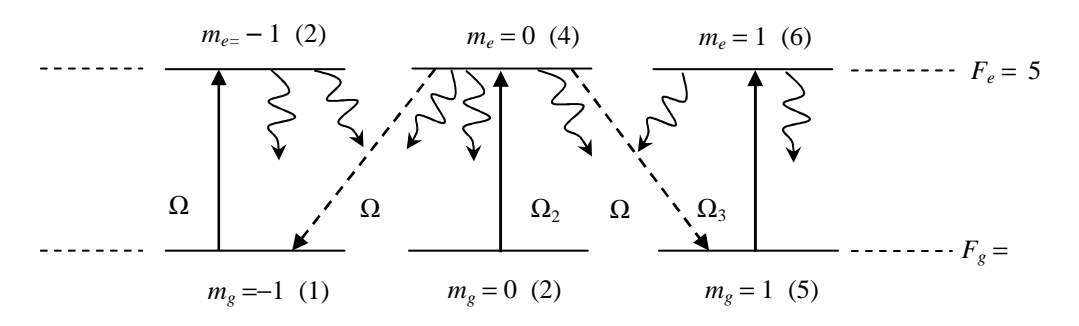


Рис.1. Схема рассматриваемого процесса при нулевом магнитном поле (B = 0, $\Omega_s = \Omega_p = 0$) для D_2 линии атома цезия.

Сильная оптическая накачка может привести к инверсии населенностей между отдельными магнитными подуровнями сверхтонких уровней основного и возбужденного состояний. Возможность такой инверсии и экспериментальные схемы ее выявления обсуждались в [3,6]. Косвенные и прямые проявления такого усиления в эксперименте при возбуждении атомарной среды линейнополяризованным лазерным излучением в отсутствие магнитного поля представлены в [6,7]. Исследование усиления слабого светового сигнала при распространении в среде атомарных паров щелочных металлов в поле сильного лазерного излучения важно для получения фазово-развязанных источников когерентного электромагнитного излучения с одинаковой частотой и разными поляризациями из одного когерентного источника.

В работе [8] численным решением уравнений баланса была исследована сверхтонкая структура резонансной флуоресценции на линии D₂ атома ¹³³Сѕ под действием лазерного излучения с перестраиваемой частотой в случае линейной и круговой поляризаций. Подробно исследовано перераспределение атомных населенностей и динамика процесса при учете зеемановского расщепления уровней при наличии внешнего магнитного поля.

В настоящей работе рассмотрен конкретный переход конкретного элемента, а именно, переход, например, $F_g=4\to F_e=5$ линии D_2 атома цезия (аналогичная ситуация имеется также в случае перехода $F_g=3\to F_e=4$ линии D_2 атома Rb). Этот переход циклический, т.е. оптической накачки не происходит. На рисунке отмечены только подуровни $m=0,\pm 1$, задействованные

линейно-поляризованной накачкой, которая в случае именно перехода $F_g=4 \to F_e=5$ собирает всю населенность на подуровнях с m=0. Решением самосогласованной системы уравнений для матрицы плотности и уравнений Максвелла исследована возможность усиления слабого сигнала при распространении в среде.

2. Основные уравнения и результаты

Рассмотрим возможность усиления слабого светового сигнала с циркулярной поляризацией в многоуровневой атомарной среде, возбуждаемой интенсивным линейно-поляризованным резонансным излучением. Гамильтониан рассматриваемой задачи (рис.1) имеет следующий вид:

$$H_{\text{int}} = -\left(\Omega_1 e^{i\Delta_1 t} \sigma_{21} + \Omega_2 e^{i\Delta_2 t} \sigma_{43} + \Omega_3 e^{i\Delta_3 t} \sigma_{65} + \Omega_s e^{i\Delta_s t} \sigma_{41} + \Omega_p e^{i\Delta_p t} \sigma_{45} + \text{h.c.}\right)$$
(1)

где Ω_i (i=1,2,3) — частоты переходов Раби для линейно-поляризованного лазерного поля, $\Omega_{s,p}$ — частоты переходов Раби для циркулярно-поляризованного слабого светового сигнала, σ_{ik} — атомные операторы, а соответствующие

расстройки резонансов $\Delta_1 = E_2 - E_1 - \omega_1$, $\Delta_2 = E_4 - E_3 - \omega_2$, $\Delta_3 = E_6 - E_5 - \omega_3$, $\Delta_s = E_4 - E_1 - \omega_s$, $\Delta_p = E_4 - E_5 - \omega_p$, где E_i – энергии соответствующих уровней.

Уравнение матрицы плотности запишем в виде

$$i\frac{\partial \rho}{\partial t} = [H_{\rm int}, \rho] + \Lambda \rho, \qquad (2)$$

где Λ – релаксационная матрица.

В нашей работе численно исследуются схемы, которые приведены на рис.1 и 2. Для первой схемы (рис.1) внешнее магнитное поле равно нулю (B=0), в то время как для второй схемы (рис.2) включается дополнительное магнитное поле, приводящее к зеемановскому смещению уровней. Роль магнитного поля заключается в том, что оно выводит из резонанса пробное циркулярно-поляризованное поле, сдвигая подуровни с $m \neq 0$. Сначала рассмотрим схему, представленную на рис.1, где атомная система возбуждается линейно-поляризованным непрерывным лазерным полем, которое показано жирными стрелками ($\Omega_{1,2,3}$). На рис.1 отмечены только подуровни $m=0,\pm 1$, задействованные линейно-поляризованной накачкой, которая в случае именно перехода $F_{_g} = 4 \to F_{_e} = 5$ собирает всю населенность на подуровнях с m = 0. Предполагается, что до взаимодействия с полем электроны равномерно распределены по основным состояниям 1,3,5. Как известно, при таком стационарном режиме взаимодействия перераспределяется к середине системы (т.е. в нашем случае на уровни 3 и 4) [1-5,8]. Процесс перераспределения атомных населенностей происходит благодаря спонтанным переходам, которые показаны на рисунках волнистыми линиями. Жирными пунктирными линиями показаны слабые затравочные сигналы $(\Omega_{s,p})$, усиление которых мы будем рассматривать.

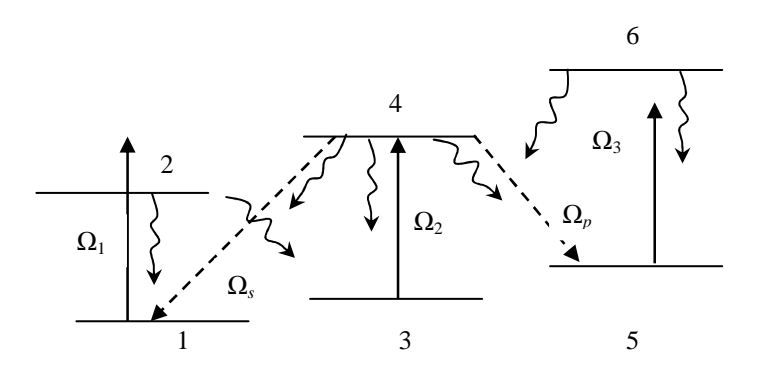


Рис.2. Рассматриваемая схема процесса при наличии внешнего магнитного поля $B \neq 0$ ($\Omega_1 = \Omega_2 = \Omega_3 = 0$, $\Omega_{s,p} \neq 0$).

На рис.3 приведены результаты численного решения системы уравнений (2) при $\Omega_{s,p}=0$, что показывает динамику населенностей атомных уровней. Как и следовало ожидать, с течением времени населенности 1,2,5,6 затухают, а населенности уровней 3 и 4, осциллируя, выходят на предельные значения $\rho_{33}(\infty) = \rho_{44}(\infty) = 0.5$. Таким образом, между уровнями 4 и 1, 5 достаточно быстро создается инверсия, что будет приводить к усилению полей $\Omega_{s,p}$ [7,8].

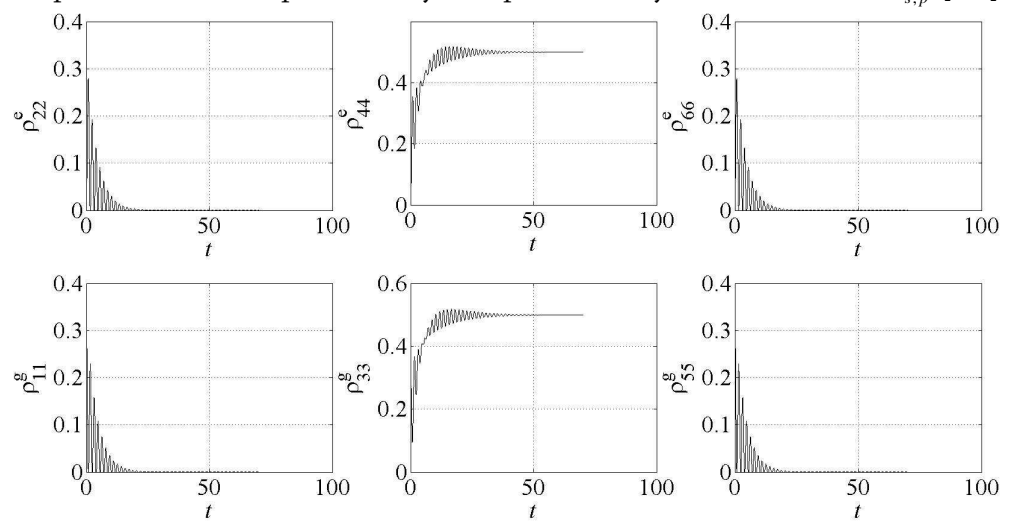


Рис.3. Динамика населенностей уровней при $\Omega_1 = \Omega_2 = \Omega_3 = 2\gamma$, $\Omega_{s,p} = 0$, B = 0 (γ — полная ширина ~500 МГц).

Рассмотрим теперь последовательное включение и выключение полей, приведенное на рис.4. Постоянное лазерное поле действует до момента времени t_0 достаточно большого, чтобы привести систему в описанное выше стационарное состояние (см. рис.3). В момент t_0 включается импульс лазерного поля, и одновременно с ним — внешнее постоянное магнитное поле (рис.4). Нами рассмотрены случаи длительности τ = 1, 50, 100, 150, 200 (в единицах у)

для такой последовательности включения и выключения полей численно исследована динамика населенностей атомных уровней, приведенных на рис.2. Подобная конфигурация взаимодействия может привести к эффективному усилению (генерации) полей $\Omega_{s,p}$, так как при соответствующем подборе длительности и амплитуды импульсного поля происходит перекачка населенностей из 3 в 4.

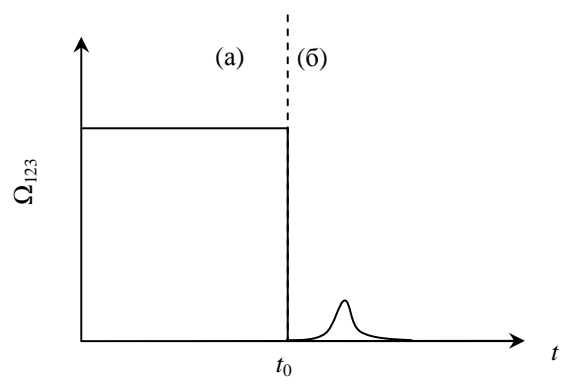


Рис.4. Общая схема включения (выключения) лазерных полей и затравочного поля: (а) при $t < t_0,\,\Omega_1 = \Omega_2 = \Omega_3 = 2\gamma,\,\Omega_{s,p} = 0,\,B = 0$ в соответствии с рис.1; (б) при $t > t_0,\,\Omega_1 = \Omega_2 = \Omega_3 = 0,\,\Omega_{s,p} = 0.05\gamma,\,B \neq 0$ в соответствии с рис.2.

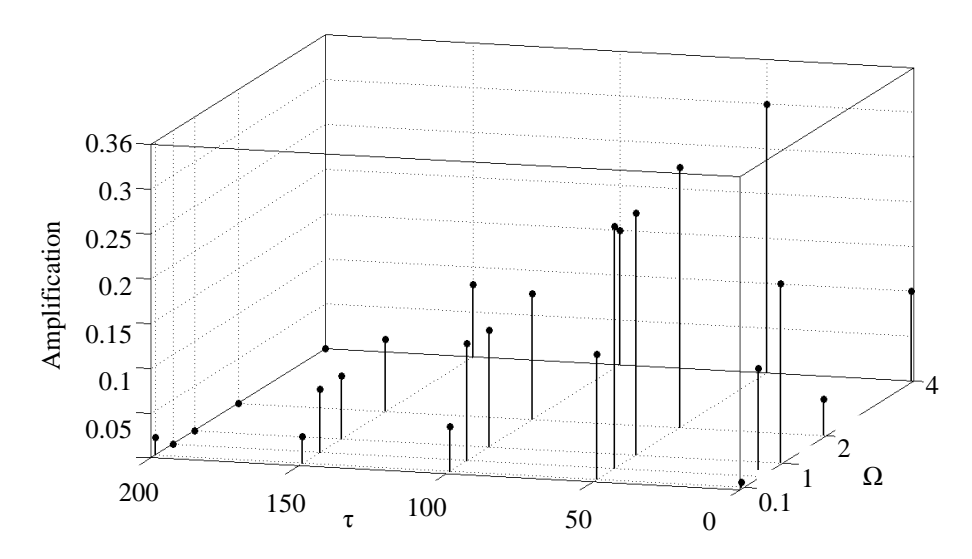


Рис.5. Динамика зависимости генерации циркулярного поля от частоты Раби (Ω) и от длительности импульса (τ) ($\Omega=\Omega_1=\Omega_2=\Omega_3\neq 0$).

На рис.5 приведены результаты вычисления мнимой части величины ρ_{41} в зависимости от частоты Раби и длительности импульсного поля. Отметим, что для ρ_{45} получается аналогичная картина. Из рис.5 видно, что при больших длительностях лазерного импульса ($\tau \sim 200\gamma$, где γ – полная ширина ~ 500 МГц) усиления нет. Максимальное усиление (порядка 30%) получается при

значениях $\tau \sim 50\gamma$. При этом дальнейшее увеличение частоты Раби существенного усиления не дает, так как с ростом частоты Раби происходит насыщение. При малых длительностях лазерного импульса ($\tau < \gamma$) реализуется нестационарный (осциллирующий) режим.

Для исследования усиления слабого сигнала ($\Omega_{s,p} = -d_{41,45}E_{s,p}/\hbar$)рассмотрим укороченное уравнение Максвелла для амплитуды слабого сигнала E_s , записанное в бегущих координатах:

$$\partial E_{s}(x)/\partial x = iq_{s}\rho_{41},\tag{3}$$

где $q_s = 2\pi\omega_s N d_{41}^2/c\hbar$ (N — число атомов). Из-за слабости сигнала E_s ограничимся линейным по полю приближением:

$$\rho_{41} = \chi E_s \,, \tag{4}$$

где х – поляризуемость одного атома. Из выражений (3) и (4) получаем

$$\partial E_{s}(x)/\partial x = iq_{s}\chi E_{s}. \tag{5}$$

Решение уравнения (5) имеет вид

$$E_s(x) = E_s(0)e^{iq_s \chi x}.$$
 (6)

Учитывая также, что

$$\chi = \operatorname{Re}\chi + i\operatorname{Im}\chi = \operatorname{Re}\chi - i|\operatorname{Im}\chi|, \operatorname{Im}(\rho_{41}) < 0, \tag{7}$$

выражение (6) принимает вид

$$E_s(x) = E_s(0)e^{i(q_s \operatorname{Re}\chi)x} e^{q_s |\operatorname{Im}\chi|x}.$$
 (8)

Коэффициент усиления $\alpha = q_s |\text{Im}\chi|$ с учетом выражения (4) будет иметь вид

$$\alpha = q_s \operatorname{Im} \rho_{41} / E_s . \tag{9}$$

При значениях $\omega_s=10^{15}~\Gamma$ ц, $N=10^{13}~{\rm cm}^{-3}$, $(d_{41})^2=10^{-35}$ получим $q_s=10^{10}~{\rm u}$, исходя из рис.5, ${\rm Im}\,\rho_{41}^{\rm max}=0.3$. При $E_s=0.05\gamma$ (у – полная ширина $\sim\!500~{\rm M}\Gamma$ ц) для коэффициента усиления получаем $\alpha\sim10^3$.

3. Заключение

Таким образом, нами показано, что затравочное циркулярно-поляризованное излучение может испытывать значительное усиление по мере распространения в атомарной среде, накачиваемой резонансным линейнополяризованным излучением. Предложен режим импульсного возбуждения среды, при котором реализуется оптимальный режим усиления.

Работа выполнена при финансовой поддержке гранта фонда Фольксваген «Оптический информационный процесс при адиабатическом взаимодействии света с веществом», в рамках Международной ассоциированной лаборатории IRMAS и Гос. Комитета по науке Министерства образования и науки Республики Армения.

ЛИТЕРАТУРА

- 1. **B.W.Shore**. Acta Physica Slovaca, **58**, 243 (2008).
- 2. A.P.Kazantsev, V.S.Smirnov, A.M.Tumaikin, I.A.Yagofarov. Opt. Spectrosc., 52, 116 (1984).
- 3. **B.Gao.** Phys. Rev. A, **48**, 2443 (1993).
- 4. A.V.Taichenachev, A.M.Tumaikin, V.I.Yudin. Zh. Eksp. Teor. Fiz., 110, 1727 (1996)
- 5. G.Nienhuis, A.V.Taichenachev, A.M.Tumaikin, V.I.Yudin. Europhys. Lett., 44, 20 (1998).
- 6. **A.V.Papoyan, R.G.Unanyan, K.Bergmann**. Verhandlungen der Deutschen Physikalischen Gesellschaft, No.4, p.414 (1999).
- 7. M.Movsisyan, S.Shmavonyan, A.Papoyan. Centr. Eur. J. Phys. (accepted).
- 8. E.A.Gazazyan. Proc. SPIE, 7027, 70270J (2008).

ԹՈՒՅԼ ՇՐՋԱՆԱՅԻՆ ԲԵՎԵՌԱՑՎԱԾ ԼՈՒՍԱՅԻՆ ԱԶԴԱՆՇԱՆԻ ՈՒԺԵՂԱՑՈՒՄԸ ԲԱԶՄԱՍԱԿԱՐԴԱԿԱՆԻ ԱՏՈՄԱԿԱՆ ՄԻՋԱՎԱՅՐԵՐՈՒՄ

Է.Ա. ԳԱԶԱԶՅԱՆ, Գ.Հ. ԳՐԻԳՈՐՅԱՆ, Ա.Վ. ՊԱՊՈՅԱՆ

Ուսումնասիրված է թույլ շրջանային բևեռացված լուսային ազդանշանի ուժեղացումը բազմամակարդականի ատոմական միջավայրում տարածման դեպքում ուժեղ գծային բևեռացված ռեզոնանսային ձառագայթման ազդեցությամբ։ Ուժեղ օպտիկական մղումը կարող է հանգեցնել հիմնական և գրգոված վիձակների գերնուրբ մակարդակների առանձին մագնիսական ենթամակարդակների միջև բնակեցվածությունների ինվերսիայի։ Խտության մատրի-ցի և թույլ ազդանշանի տարածման համար Մաքսվելի հավասարումների համակարգի ինքենահամաձայնեցված լուծումը հնարավորություն է տալիս վերլուծելու ուժեղացման պայմանները։

AMPLIFICATION OF A WEAK CIRCULARLY POLARIZED LIGHT SIGNAL IN A MULTILEVEL ATOMIC MEDIUM

E.A. GAZAZYAN, G.G. GRIGORYAN, A.V. PAPOYAN

Amplification of a weak circularly polarized light signal in a multilevel atomic medium excited by a strong linearly polarized resonant radiation is studied. A strong optical pumping may lead to the population inversion between magnetic sublevels of hyperfine components of the ground and excited states. Solution to the self-consistent system of density matrix equations and Maxwell equations for propagation of the weak signal allows analyzing the optimum conditions of amplification.